

В.В. Лопушенко

ИССЛЕДОВАНИЕ ПЛОСКИХ ДЕФЕКТОВ ВНУТРИ ДИ- ЭЛЕКТРИЧЕСКОЙ ПОДЛОЖКИ МЕТОДОМ ИНТЕГРАЛЬ- НЫХ УРАВНЕНИЙ В СПЕКТРАЛЬНОЙ ОБЛАСТИ

ВВЕДЕНИЕ

Продолжающийся прогресс в совершенствовании интегральных схем, процессоров и дисковых накопителей ставит новые задачи перед исследователями. Миниатюризация транзисторов и необходимость перехода к новым нанотехнологическим стандартам требует обеспечения строгой чистоты подложек, которые служат основой их производства. Особое беспокойство у разработчиков интегральных схем вызывает присутствие малозаметных дефектов, которые имеют малую глубину (высоту) 4-10нм, в то время как их диаметр может достигать 200-500нм. Использование оптических сканеров для мониторинга качества поверхности подложек с малозаметными дефектами требует наличия соответствующих средств математического моделирования их рассеивающих свойств. Изучение малозаметных дефектов представляется особенно актуальным ввиду того, что выявлены заметные отличия их рассеивающих свойств от свойств полноразмерных дефектов [1].

В настоящей работе предложена новая модификация метода объемных интегральных уравнений в спектральной области, построенного в [2,3] для поверхностных дефектов малой толщины. Реализована возможность моделирования объектов в форме эллиптических цилиндров, расположенных внутри диэлектрической подложки. При этом могут рассматриваться объекты как примыкающие к поверхности подложки, так и расположенные на некотором расстоянии от нее. Метод строится на основе традиционного объемного интегрального уравнения [4] с последующим переходом в спектральную область. Важной особенностью рассматриваемого подхода является прямое вычисление рассеянного поля в дальней зоне через спектральные образы объемных токов внутри рассеивателя. К достоинствам рассматриваемого подхода следует отнести его высокую производительность, обусловленную применением быстрых алгоритмов дискретного преобразования Фурье и вычисления сверток, а также использованием спектральных функций в аналитическом виде, а не в представлении Вейля-Зоммерфельда [1,4]. С помощью построенного метода

проведен анализ рассеивающих характеристик ряда дефектов различной формы. В частности, исследовано поведение диаграммы рассеяния в зависимости от поляризации падающей плоской волны, а также вытянутости объекта, его показателя преломления и расстояния от поверхности подложки.

1. ПОСТАНОВКА ЗАДАЧИ НА ОСНОВЕ ОБЪЕМНОГО ИНТЕГРАЛЬНОГО УРАВНЕНИЯ

Пусть $\{\mathbf{E}^0, \mathbf{H}^0\}$ – поле плоской электромагнитной волны линейной поляризации, падающей под углом θ_0 относительно нормали на плоскую границу Ξ раздела воздух-подложка $D_0 - D_1$, а однородная частица, занимающая область D_i с гладкой границей ∂D , расположена так, что лежит полностью внутри подложки D_1 . Введем прямоугольную систему координат таким образом, чтобы граница раздела Ξ совпала с плоскостью Oxy . Ось Oz направим в область D_0 . Тогда математическая постановка задачи рассеяния принимает вид

$$\operatorname{rot} \mathbf{H}_t = ik\varepsilon_t \mathbf{E}_t, \quad \operatorname{rot} \mathbf{E}_t = -ik\mathbf{H}_t \quad \text{в } D_t, \quad t=0,1,i, \quad (1.1)$$

$$\begin{aligned} \mathbf{n}_p \times \mathbf{E}_i(p) - \mathbf{E}_1(p) &= 0, & \mathbf{e}_z \times \mathbf{E}_0(p) - \mathbf{E}_1(p) &= 0, \\ \mathbf{n}_p \times \mathbf{H}_i(p) - \mathbf{H}_1(p) &= 0, & \mathbf{e}_z \times \mathbf{H}_0(p) - \mathbf{H}_1(p) &= 0, \end{aligned} \quad p \in \partial D, \quad p \in \Xi,$$

$$\lim_{r \rightarrow \infty} r \cdot \left(\sqrt{\varepsilon_0} \mathbf{E}_0^s \times \frac{\mathbf{r}}{r} - \sqrt{\mu_0} \mathbf{H}_0^s \right) = 0, \quad r = |M| \rightarrow \infty, \quad z > 0,$$

$$(|\mathbf{E}_1^s|, |\mathbf{H}_1^s|) = o(\exp\{-|\operatorname{Im} k \sqrt{\varepsilon_1}| r\}), \quad z < 0.$$

Здесь \times – векторное произведение, $\{\mathbf{E}_t, \mathbf{H}_t\}$ – полное и $\{\mathbf{E}_t^s, \mathbf{H}_t^s\}$ – рассеянное поля в соответствующих областях D_t , $k = \omega / c$, а \mathbf{n}_p – нормаль к поверхности ∂D , ε_t – диэлектрическая проницаемость среды в D_t . Полагаем поверхность частицы гильдеровой $\partial D \subset C^{(1,\alpha)}$. Тогда граничная задача (1.1) имеет единственное решение.

Представляя решение задачи отражения и преломления поля плоской волны на поверхности проницаемой подложки Ξ как $\{\mathbf{E}_t^0, \mathbf{H}_t^0\}$ и учитывая, что полное поле представляет собой сумму поля плоской волны и рассеянного поля, можно записать (опуская для удобства нижний индекс среды):

$$\mathbf{E}^s = \mathbf{E} - \mathbf{E}^0, \mathbf{H}^s = \mathbf{H} - \mathbf{H}^0, \quad (1.2)$$

и соответствующую систему уравнений в нижнем полупространстве:

$$\begin{cases} \nabla \times \mathbf{E}^s = -ik\mathbf{H}^s \\ \nabla \times \mathbf{H}^s = ik\varepsilon_1 \mathbf{E}^s + \mathbf{I}^E \end{cases} \quad (1.3)$$

$$\text{где ток } \mathbf{I}^E = ik(\varepsilon_i - \varepsilon_1)\mathbf{E}_1 \quad (1.4)$$

принимает ненулевые значения в точках $P \in D_i$. В основу представления для рассеянного частицей поля положим тензор Грина полупространства [4]. В этом случае векторный потенциал для тока \mathbf{j} с точностью до постоянного множителя выглядит как интеграл

$$\mathbf{A}(M) = \int_{D_i} \mathbf{G}(M, P) \mathbf{j}(P) dv_P \quad (1.5)$$

с тензором Грина вида

$$\mathbf{G}(M, P) = \begin{bmatrix} G_{11} & 0 & 0 \\ 0 & G_{11} & 0 \\ \partial G_{31}/\partial x_M & \partial G_{31}/\partial y_M & G_{33} \end{bmatrix}. \quad (1.6)$$

Для компонент тензора используем представления Вейля-Зоммерфельда:

$$G_{nm}(M, P) = \frac{1}{2\pi} \int_0^\infty J_0(\beta r) v_{nm}(\beta, z_M, z_P) \beta d\beta, \quad (n, m) = (1, 1), (3, 3), (3, 1). \quad (1.7)$$

Здесь $r^2 = x_M - x_P^2 + y_M - y_P^2$, $J_0(\cdot)$ – цилиндрическая функция Бесселя, (x_n, y_n, z_n) , $n = M, P$ – декартовы координаты точек M и P . Для спектральных функций v_{nm} справедливы следующие представления:

$$\begin{aligned} v_{11}(\beta, z_M, z_P) &= \zeta_{11}^- \exp -\eta_1 |z_P - z_M| + \zeta_{11}^+ \exp \eta_1 z_P + z_M \\ \zeta_{11}^- \beta &= \frac{1}{2\eta_1} \zeta_{11}^+ \beta = -\frac{\eta_0 - \eta_1}{\eta_0 + \eta_1} \frac{1}{2\eta_1} \\ v_{33}(\beta, z_M, z_P) &= \zeta_{33}^- \exp -\eta_1 |z_P - z_M| + \zeta_{33}^+ \exp \eta_1 z_P + z_M, \quad (1.8) \\ \zeta_{33}^- \beta &= \frac{1}{2\eta_1}, \quad \zeta_{33}^+ = -\frac{\varepsilon_1 \eta_0 - \varepsilon_0 \eta_1}{\varepsilon_1 \eta_0 + \varepsilon_0 \eta_1} \frac{1}{2\eta_1}, \end{aligned}$$

$$v_{31}(\beta, z_M, z_P) = \zeta_{31}^+ \exp \eta_1 z_P + z_M, \quad \zeta_{31}^+ = \frac{\varepsilon_1 - \varepsilon_0}{\eta_0 + \eta_1 \varepsilon_1 \eta_0 + \varepsilon_0 \eta_1}, \quad z_M, z_P < 0,$$

где $\eta_n^2 = \beta^2 - k_n^2$, $k_n^2 = k^2 \varepsilon_n$, $n = 0, 1$. Спектральные функции обеспечивают выполнение условий сопряжения на границе $z = 0$ [4].

Рассеянное поле \mathbf{E}^s в нижнем полупространстве может быть представлено через векторный потенциал \mathbf{A} в виде:

$$\mathbf{E}^s = \frac{1}{ik} (k^2 + \text{grad}(\frac{1}{\varepsilon_1} \text{div})) \mathbf{A}, \quad (1.9)$$

подставляя (1.4), (1.5) и (1.6) в (1.9), получим следующее уравнение относительно поля \mathbf{E} для точек $M \in D_i$:

$$\mathbf{E}_M = \mathbf{E}^0_M + (k^2 + \text{grad}_M(\frac{1}{\varepsilon_1} \text{div}_M)) \int_{D_i} \mathbf{G}_{M,P} (\varepsilon_i - \varepsilon_1) \mathbf{E}_P \mathbf{d}v_P. \quad (1.10)$$

Используя обозначения, принятые в [4] для плотности объемных токов $\mathbf{J} = \varepsilon_i - \varepsilon_1 \mathbf{E}$ и $\mathbf{J}^0 = \varepsilon_i - \varepsilon_1 \mathbf{E}^0$, перепишем уравнение в виде

$$\mathbf{J}_M = \mathbf{J}^0_M + (\varepsilon_i - \varepsilon_1) (k^2 + \text{grad}_M(\frac{1}{\varepsilon_1} \text{div}_M)) \int_{D_i} \mathbf{G}_{M,P} \mathbf{J}_P \mathbf{d}v_P, \quad (1.11)$$

В уравнение (1.11) входит поле внешнего возбуждения в области D_1 . Будем рассматривать поле Р-поляризованной плоской волны (вектор электрического поля \mathbf{E}^0 лежит в плоскости падения волны Ozx), распространяющейся под углом θ_0 к оси Oz в верхнем полупространстве и преломленной под углом θ_1 в нижнее полупространство. Тогда поле внешнего возбуждения в нижнем полупространстве принимает вид

$$\mathbf{E}_1^0 = \mathbf{e}_x \cos \theta_1 + \mathbf{e}_z \sin \theta_1 T_P \chi^-,$$

$$\chi^- = \exp -ik_1 x \sin \theta_1 - z \cos \theta_1, \quad (1.12)$$

а коэффициент Френеля равен [5]

$$T_P = \frac{2n_0 \cos \theta_0}{n_1 \cos \theta_0 + n_0 \cos \theta_1}.$$

В случае S-поляризации падающей плоской волны, то есть когда вектор \mathbf{E}^0 перпендикулярен плоскости падения, суммарное возбуждающее поле представляется в виде

$$\mathbf{E}_1^0 = -\mathbf{e}_y T_S \chi^-, \quad (1.13)$$

а коэффициент Френеля для S поляризации принимает вид [5]

$$T_S = \frac{2n_0 \cos \theta_0}{n_0 \cos \theta_0 + n_1 \cos \theta_1}.$$

При наличии поглощения в подложке угол θ_1 принимает, вообще говоря, комплексные значения.

Принимая во внимание полученные соотношения, приступим к построению численного алгоритма решения уравнения (1.11).

2. ИНТЕГРАЛЬНОЕ УРАВНЕНИЕ В СПЕКТРАЛЬНОЙ ОБЛАСТИ

Аналогично методике [3], построим вычислительный алгоритм в несколько этапов. Прежде всего, предполагая, что рассматриваемая неоднородность имеет структуру вида $D_i = S_i \times [z_{\max} - h, z_{\max}]$, где S_i - площадь основания, z_{\max} - верхняя точка цилиндра, а его высота h достаточно мала, аппроксимируем интегралы по z в (1.11), чтобы существенно упростить уравнение, снизив его размерность. Далее, пользуясь двумерным преобразованием Фурье по переменным x, y , получим из (1.11) уравнение типа свертки в спектральной области. Наконец, применим итерационный метод решения уравнения, используя известные быстрые алгоритмы вычисления сверток.

Вводя операторы прямого и обратного преобразования Фурье

$$\mathcal{F} g(k_x, k_y) = \int_{-\infty}^{\infty} \int_{-\infty}^{\infty} g(x, y) \exp(ik_x x + ik_y y) dx dy, \quad (2.1)$$

$$\mathcal{F}^{-1} q(x, y) = \frac{1}{4\pi^2} \int_{-\infty}^{\infty} \int_{-\infty}^{\infty} q(k_x, k_y) \exp(-ik_x x - ik_y y) dk_x dk_y, \quad (2.2)$$

и полагая $\beta = \sqrt{k_x^2 + k_y^2}$, представим компоненты тензора Грина (1.7) в виде

$$G_{nm}(M, P) = \mathcal{F}^{-1} v_{nm} \quad x_M - x_P, y_M - y_P = \quad (2.3)$$

$$= \frac{1}{4\pi^2} \int_{-\infty}^{\infty} \int_{-\infty}^{\infty} v_{nm}(\beta, z_M, z_P) \exp -ik_x x_M - x_P - ik_y y_M - y_P \quad dk_x dk_y .$$

Из (1.8) следует, что интегрирование спектральных функций $v_{nm}(\beta, z_M, z_P)$ по переменным z_M, z_P приводит к вычислениям интегралов

$$I^- f \quad z_M = \int_{z_{\max}-h}^{z_{\max}} \exp -\eta_1 |z_P - z_M| f(z_P) dz_P \quad (2.4)$$

$$\text{и} \quad I^+ f \quad z_M = \int_{z_{\max}-h}^{z_{\max}} \exp \eta_1 z_P + z_M f(z_P) dz_P . \quad (2.5)$$

Благодаря малой толщине h области D_i , можем аппроксимировать эти интегралы и их производные средними значениями следующего вида:

$$\frac{\partial^n}{\partial z_M^n} I^- f \quad z_M \approx \Psi^{-(n)} f_{av}, \quad \frac{\partial^n}{\partial z_M^n} I^+ f \quad z_M \approx \Psi^{+(n)} f_{av}, \quad n=0,1,2, \quad (2.6)$$

где приняты обозначения:

$$\Psi^{-(n)} = \frac{1}{h} \int_{z_{\max}-h}^{z_{\max}} \frac{\partial^n}{\partial z_M^n} \int_{z_{\max}-h}^{z_{\max}} \exp -\eta_1 |z_P - z_M| dz_P dz_M ,$$

$$\Psi^{+(n)} = \frac{1}{h} \int_{z_{\max}-h}^{z_{\max}} \frac{\partial^n}{\partial z_M^n} \int_{z_{\max}-h}^{z_{\max}} \exp \eta_1 z_P + z_M dz_P dz_M ,$$

$$f_{av} = \frac{1}{h} \int_{z_{\max}-h}^{z_{\max}} f(z_P) dz_P .$$

Величины $\Psi^{\pm(n)}$ вычисляются аналитически:

$$\Psi^{-0} = \frac{2}{\eta_1} \left(1 - \frac{1 - \exp -\eta_1 h}{\eta_1 h} \right); \quad \Psi^{-1} = 0; \quad \Psi^{-2} = -\frac{2}{h} \frac{1 - \exp -\eta_1 h}{\eta_1 h}; \quad (2.7a)$$

$$\Psi^{+0} = \exp 2\eta_1 z_{\max} \frac{1 - \exp -\eta_1 h}{\eta_1^2 h}, \quad \Psi^{+1} = \eta_1 \Psi^{+0}, \quad \Psi^{+2} = \eta_1 \Psi^{+1} . \quad (2.7b)$$

Полученные приближенные значения интегралов и их производных будем использовать при расчете тензора

$$\mathbf{G}^1 M, P = (k^2 + \text{grad}_M \left(\frac{1}{\varepsilon_1} \right) \text{div}_M) \mathbf{G} M, P, \quad (2.8)$$

который в явном виде выглядит следующим образом:

$$\mathbf{G}^1 = \begin{pmatrix} k^2 G_{11} + \frac{1}{\varepsilon_1} \left(\frac{\partial^2 G_{11}}{\partial x_M^2} + \frac{\partial^3 G_{31}}{\partial x_M^2 \partial z_M} \right) & \frac{1}{\varepsilon_1} \left(\frac{\partial^2 G_{11}}{\partial x_M \partial y_M} + \frac{\partial^3 G_{31}}{\partial x_M \partial y_M \partial z_M} \right) & \frac{1}{\varepsilon_1} \frac{\partial^2 G_{33}}{\partial x_M \partial z_M} \\ \frac{1}{\varepsilon_1} \left(\frac{\partial^2 G_{11}}{\partial x_M \partial y_M} + \frac{\partial^3 G_{31}}{\partial x_M \partial y_M \partial z_M} \right) & k^2 G_{11} + \frac{1}{\varepsilon_1} \left(\frac{\partial^2 G_{11}}{\partial y_M^2} + \frac{\partial^3 G_{31}}{\partial y_M^2 \partial z_M} \right) & \frac{1}{\varepsilon_1} \frac{\partial^2 G_{33}}{\partial y_M \partial z_M} \\ k^2 \frac{\partial G_{31}}{\partial x_M} + \frac{1}{\varepsilon_1} \left(\frac{\partial^2 G_{11}}{\partial x_M \partial z_M} + \frac{\partial^3 G_{31}}{\partial x_M \partial z_M^2} \right) & k^2 \frac{\partial G_{31}}{\partial y_M} + \frac{1}{\varepsilon_1} \left(\frac{\partial^2 G_{11}}{\partial y_M \partial z_M} + \frac{\partial^3 G_{31}}{\partial y_M \partial z_M^2} \right) & k^2 G_{33} + \frac{1}{\varepsilon_1} \frac{\partial^2 G_{33}}{\partial z_M^2} \end{pmatrix}$$

Подставляя (2.3), (2.8) в (1.11) и дифференцируя по переменным x_M, y_M, z_M с учетом (2.6), (2.7), получим двумерное уравнение в переменных k_x, k_y относительно Фурье-образа искомой плотности тока

$$\mathcal{F} \mathbf{J} = \mathcal{F} (\varepsilon_i - \varepsilon_1) \mathbf{T} \mathcal{F} \mathbf{J} + \mathbf{R} \quad (2.9)$$

$$\text{с правой частью } \mathbf{R} = \mathcal{F} \mathbf{J}^0. \quad (2.10)$$

Матрица \mathbf{T} имеет компоненты

$$\begin{aligned} T_{11} &= \left(k^2 - \frac{k_x^2}{\varepsilon_1} \right) \zeta_{11}^- \Psi^{-0} + \zeta_{11}^+ \Psi^{+0} - \frac{k_x^2 \zeta_{31}^+ \Psi^{+1}}{\varepsilon_1}, \\ T_{12} &= -\frac{k_x k_y}{\varepsilon_1} \zeta_{11}^- \Psi^{-0} + \zeta_{11}^+ \Psi^{+0} - \frac{k_x k_y \zeta_{31}^+ \Psi^{+1}}{\varepsilon_1}, \quad T_{21} = T_{12}, \\ T_{13} &= -\frac{i k_x \zeta_{33}^+ \Psi^{+1}}{\varepsilon_1}, \quad T_{22} = \left(k^2 - \frac{k_y^2}{\varepsilon_1} \right) \zeta_{11}^- \Psi^{-0} + \zeta_{11}^+ \Psi^{+0} - \frac{k_y^2 \zeta_{31}^+ \Psi^{+1}}{\varepsilon_1}, \\ T_{23} &= -\frac{i k_y \zeta_{33}^+ \Psi^{+1}}{\varepsilon_1}, \quad T_{31} = -i k^2 k_x \zeta_{31}^+ \Psi^{+0} - \frac{i k_x}{\varepsilon_1} \zeta_{11}^+ \Psi^{+1} + \zeta_{31}^+ \Psi^{+2}, \\ T_{32} &= -i k^2 k_y \zeta_{31}^+ \Psi^{+0} - \frac{i k_y}{\varepsilon_1} \zeta_{11}^+ \Psi^{+1} + \zeta_{31}^+ \Psi^{+2} \end{aligned} \quad (2.11)$$

$$T_{33} = k^2 \zeta_{33}^- \Psi^{-0} + \zeta_{33}^+ \Psi^{+0} + \frac{\zeta_{33}^- \Psi^{-2} + \zeta_{33}^+ \Psi^{+2}}{\varepsilon_1}.$$

Заметим, в уравнении (2.9) все элементы матрицы вычисляются аналитически, т.е. необходимости в вычислении интегралов Вейля-Зоммерфельда нет. Требуется лишь вычислить свертку подынтегрального выражения, содержащего искомое решение, с образом площади S_i неоднородности. С целью использования быстрых алгоритмов вычисления свертки целесообразно ввести равномерную сетку в прямоугольнике $\Pi = [-\mathcal{K}_x/2, \mathcal{K}_x/2] \times [-\mathcal{K}_y/2, \mathcal{K}_y/2]$ таким, что $\mathcal{F} S_i \pm \mathcal{K}_x/2, k_y \ll 1$ и $\mathcal{F} S_i k_x, \pm \mathcal{K}_y/2 \ll 1$. Тогда система (2.9) может быть решена с помощью итерационных методов, например, метода минимальных невязок (GMRES).

3. ВЫЧИСЛЕНИЕ РАССЕЯННОГО ПОЛЯ В ДАЛЬНОЙ ЗОНЕ

Покажем, что по найденному решению системы (2.9) можно легко вычислить характеристики поля в дальней зоне. Для этого следует вычислить соответствующие компоненты тензора Грина в верхнем полупространстве с использованием его асимптотики, которая находится методом стационарной фазы [6]. В результате выражение для тензора Грина в сферических координатах $M R, \theta, \varphi$ при $R \rightarrow \infty$ принимает следующий вид:

$$\mathbf{G}^{far} = \begin{bmatrix} v_{11}^{far} k_0 \sin \theta, z_p & 0 & 0 \\ 0 & v_{11}^{far} k_0 \sin \theta, z_p & 0 \\ -ik_0 \sin \theta \cos \varphi \times & -ik_0 \sin \theta \sin \varphi \times & v_{33}^{far} k_0 \sin \theta, z_p \\ \times v_{31}^{far} k_0 \sin \theta, z_p & \times v_{31}^{far} k_0 \sin \theta, z_p & \end{bmatrix} \times \quad (3.1)$$

$$\times \frac{\exp(-ik_0 R)}{2\pi R} ik_0 \cos \theta \exp(ik_0 \sin \theta (x_p \cos \varphi + y_p \sin \varphi)).$$

Выражения для $v_{nm}^{far}(\beta, z_p)$ получаются из спектральных функций

$v_{11}(\beta, z_M, z_p)$, записанных в областях $z_p < 0$, $z_M > 0$ и принимают форму

$$v_{11}^{far}(\beta, z_p) = \frac{\exp \eta_1 z_p}{\eta_0 + \eta_1}, \quad v_{33}^{far}(\beta, z_p) = \frac{\varepsilon_0 \exp \eta_1 z_p}{\varepsilon_1 \eta_0 + \varepsilon_0 \eta_1}, \quad (3.2a)$$

$$v_{31}^{far}(\beta, z_p) = \frac{\varepsilon_1 - \varepsilon_0 \exp \eta_1 z_p}{\eta_0 + \eta_1 \varepsilon_1 \eta_0 + \varepsilon_0 \eta_1}, \quad (3.2b)$$

где $\eta_n^2 = \beta^2 - k_n^2$, $k_n^2 = k^2 \varepsilon_n$, $n = 0, 1$.

В свою очередь, тензор (2.8) можно представить в виде

$$\mathbf{G}^{1, far} = \frac{\exp(-ik_0 R)}{R} \tilde{\mathbf{G}}^{1, far} \frac{ik_0 \cos \theta}{2\pi} \exp(ik_0 \sin \theta (x_p \cos \varphi + y_p \sin \varphi)) \quad (3.3)$$

где соответствующие компоненты тензора $\tilde{\mathbf{G}}^{1, far}$ также записываются с помощью спектральных функций (3.2)

$$\tilde{G}_{11}^{1, far} = k^2 \left[1 - \cos^2 \varphi \sin^2 \theta v_{11}^{far} + v_{31}^{far} ik_0 \cos \theta \cos^2 \varphi \sin^2 \theta \right],$$

$$\tilde{G}_{12}^{1, far} = k^2 \cos \varphi \sin \varphi \sin^2 \theta \left[-v_{11}^{far} + v_{31}^{far} ik_0 \cos \theta \right], \quad \tilde{G}_{21}^{1, far} = \tilde{G}_{12}^{1, far},$$

$$\tilde{G}_{13}^{1, far} = -k^2 v_{33}^{far} \cos \varphi \cos \theta \sin \theta,$$

$$\tilde{G}_{22}^{1, far} = k^2 \left[1 - \sin^2 \varphi \sin^2 \theta v_{11}^{far} + v_{31}^{far} ik_0 \cos \theta \sin^2 \varphi \sin^2 \theta \right],$$

$$\tilde{G}_{23}^{1, far} = -k^2 v_{33}^{far} \sin \varphi \cos \theta \sin \theta,$$

$$\tilde{G}_{31}^{1, far} = -k^2 \cos \varphi \sin \theta \left[v_{11}^{far} \cos \theta + v_{31}^{far} ik_0 \sin^2 \theta \right],$$

$$\tilde{G}_{32}^{1, far} = -k^2 \sin \varphi \sin \theta \left[v_{11}^{far} \cos \theta + v_{31}^{far} ik_0 \sin^2 \theta \right], \quad \tilde{G}_{33}^{1, far} = k^2 v_{33}^{far} \sin^2 \theta.$$

Рассмотрим результат умножения тензора $\tilde{\mathbf{G}}^{1, far}$ на вектор $\mathbf{E} = E_x, E_y, E_z$. Пусть

$$\mathbf{B} = \tilde{\mathbf{G}}^{1, far} \mathbf{E} \quad (3.4)$$

Тогда компоненты вектора \mathbf{B} в сферической системе координат R, θ, φ записываются следующим образом

$$B_R = 0, \quad B_\theta = k^2 v_{11}^{far} \cos \theta + v_{31}^{far} ik_0 \sin^2 \theta E_x \cos \varphi + E_y \sin \varphi - k^2 v_{33}^{far} \sin \theta E_z,$$

$$B_\varphi = k^2 v_{11}^{far} - E_x \sin \varphi + E_y \cos \varphi. \quad (3.5)$$

Рассеянное поле в дальней зоне вычисляется из (1.10) как интеграл

$$\mathbf{E}^{s, far} M = \int_{D_i} \mathbf{G}^{1, far} M, P \mathbf{J} P \mathbf{d}v_p, \quad (3.6)$$

а для диаграммы направленности $\mathbf{F}(\theta, \varphi)$, определяемой как

$$\mathbf{E}^{s, far} = \frac{\exp(-ik_0 R)}{R} \mathbf{F}(\theta, \varphi), \quad (3.7)$$

имеем

$$\mathbf{F} = \frac{ik_0 \cos \theta}{2\pi} \int_{D_i} \tilde{\mathbf{G}}^{1, far}(\theta, \varphi, z_p) \exp(ik_0 \sin \theta (x_p \cos \varphi + y_p \sin \varphi)) \mathbf{J} \cdot \mathbf{P} \, dV_p \quad (3.8)$$

или

$$\mathbf{F} = \frac{ik_0 \cos \theta}{2\pi} \int_{z_{\max-h}}^{z_{\max}} \tilde{\mathbf{G}}^{1, far}(\theta, \varphi, z_p) \mathcal{F} \cdot \mathbf{J} \cdot \begin{pmatrix} k_0 \sin \theta \cos \varphi \\ k_0 \sin \theta \sin \varphi \end{pmatrix} dz_p \quad (3.9)$$

Отметим, что в выражение (3.9) входит решение системы (2.9), вычисленное в спектральной области и переход в пространственную область не требуется. Это обстоятельство является одним из преимуществ рассматриваемого подхода. Интеграл по переменной z в (3.9) вычисляется аналитически с учетом поляризации падающей плоской волны. Как следует из (3.4), (3.5), в диаграмме направленности необходимо вычислить только угловые компоненты F_θ и F_φ . Интенсивность рассеяния в направлении θ, φ при заданном угле падения θ_0 может быть записана в виде:

$$I(\theta, \varphi) = (\mathbf{F}(\theta, \varphi), \mathbf{F}^*(\theta, \varphi)) \quad (3.10)$$

Таким образом, получено окончательное выражение, позволяющее рассчитывать интенсивность рассеянного поля в волновой зоне.

4. ЧИСЛЕННЫЕ РЕЗУЛЬТАТЫ

Предлагаемый вычислительный алгоритм на основе объемного интегрального уравнения был применен к анализу подповерхностных дефектов кремниевых подложек, имеющих форму эллиптических цилиндров с малой высотой h и полуосями основания a и b :

$$D_i = \left\{ (x, y, z) : \left(\frac{x}{a} \right)^2 + \left(\frac{y}{b} \right)^2 \leq 1; z_{\max-h} \leq z \leq z_{\max} \right\}. \text{ Будем полагать, что час-}$$

тица расположена на кремниевой (Si) подложке с показателем преломления $n = 1.85 - 4.43i$, а длина волны падающего излучения $\lambda = 266$ нм. Расчеты проводились для P- и S- поляризованной плоской волны, угол падения которой составляет $\theta_0 = 70^\circ$.

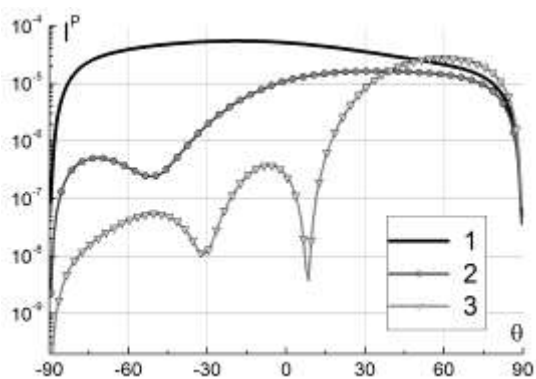


Рис. 1

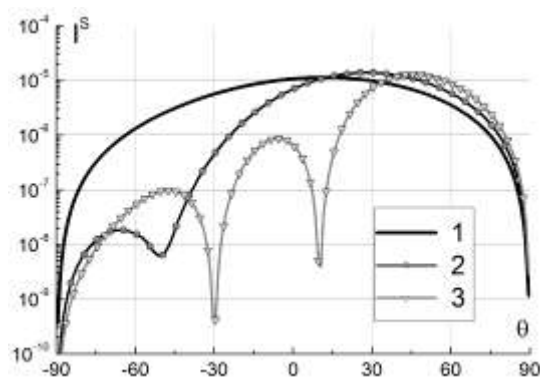


Рис. 2

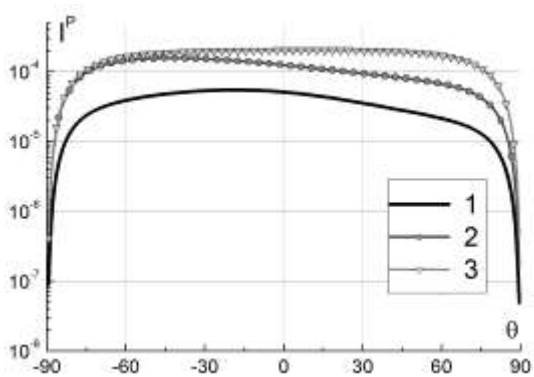


Рис. 3

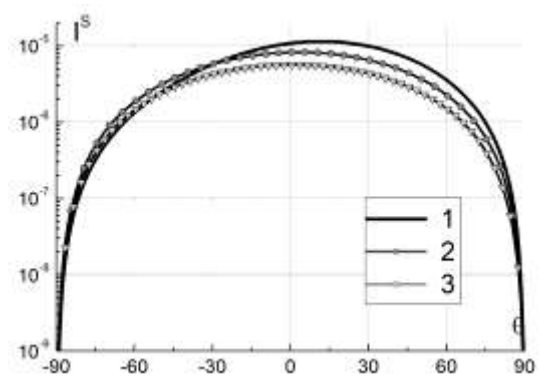


Рис. 4

На рис.1 приведены численные результаты, полученные для интенсивности рассеянного поля (3.10) в плоскости падения (плоскость Ozx) в зависимости от угла рассеяния θ при дифракции P -поляризованной плоской волны на цилиндрической ямке (показатель преломления $n = 1$) глубины $h = 10\text{нм}$ и размерами $a, b = (50\text{нм}, 50\text{нм})$ - кривая 1, $(100\text{нм}, 25\text{нм})$ – кривая 2 и $(208\text{нм}, 12\text{нм})$ – кривая 3, что соответствует параметру вытянутости $a/b = 1, 4, 17.3$. Величины полуосей были выбраны таким образом, чтобы объемы ямок были одинаковы и основное влияние на картину рассеяния оказывала только форма объекта. Из рис.1 видно, что в направлении зеркально отраженного луча кривые почти совпадают, тогда как в других направлениях они существенно отличаются. Следовательно, форма дефекта меняет характер рассеяния в широком диапазоне углов за исключением окрестности угла зеркально отражения.

На рис.2 показаны аналогичные кривые интенсивности (3.10) при рассеянии на тех же частицах S -поляризованной плоской волны. Графики вновь демонстрируют хорошее совпадение в направлении зеркального луча и полностью расходятся при других углах рассеяния. Можно сделать

вывод, что эквиобъемные объекты даже весьма различной формы рассеивают практически одинаково в прямом направлении.

Рис.3,4 демонстрируют аналогичные кривые интенсивности рассеянного поля при падении соответственно Р- и S-поляризованной волны на ямки с размерами $a, b = (50\text{нм}, 50\text{нм})$ - кривая 1, $(25\text{нм}, 100\text{нм})$ - кривая 2 и $(12\text{нм}, 208\text{нм})$ - кривая 3. В данном случае большая полуось дефектов расположена вдоль оси Y. Можно заметить, что обе поляризации значительно слабее реагируют на изменение формы объекта в направлении, перпендикулярном плоскости падения волны. Примечательно, что для Р- и S-поляризации поведение интенсивности рассеянного поля при вытягивании дефекта вдоль оси Y почти противоположно: в первом случае кривые поднимаются, а во втором – опускаются в широком диапазоне углов.

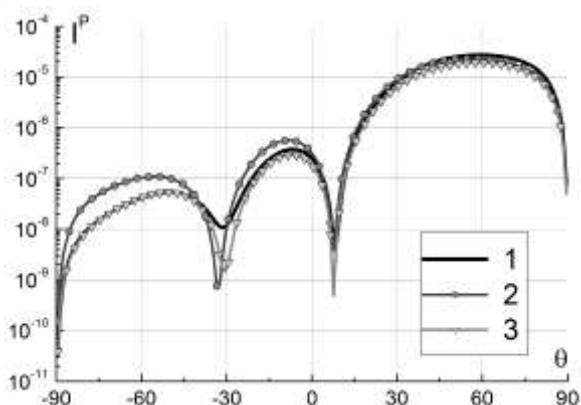


Рис. 5

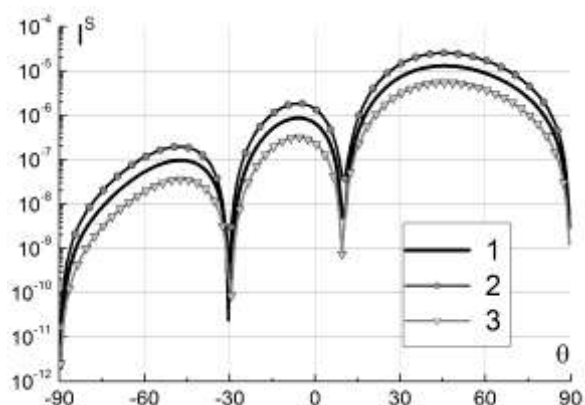


Рис. 6

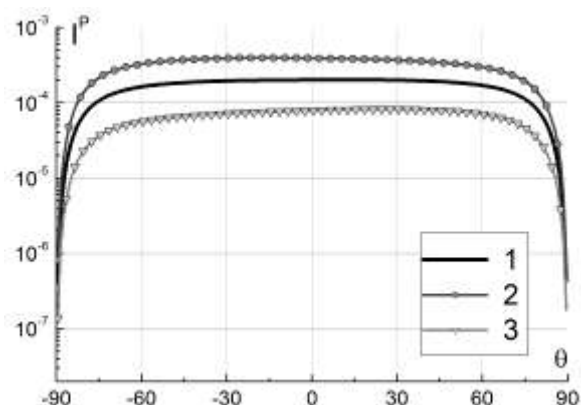


Рис. 7

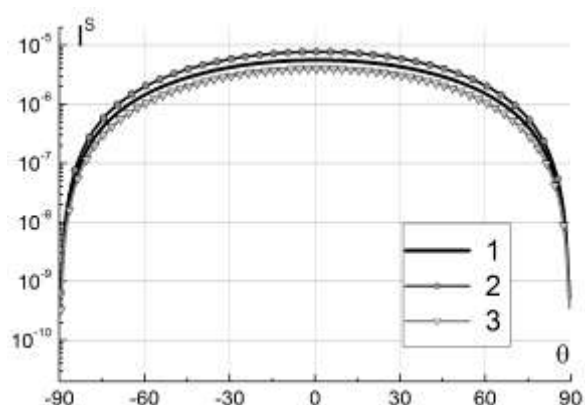


Рис. 8

С целью изучения зависимости интенсивности рассеяния от материала частицы проводились расчеты для частиц из трех материалов: воздуха ($n = 1$) (кривая 1), нитрида кремния (SiN) ($n = 2.00 - 0.0i$) (кривая 2) и титана (Ti) ($n = 1.52 - 1.68i$) (кривая 3). На рис. 5,6 показаны кривые интенсивности рассеянного поля для Р- и S-поляризаций соответственно, частицы вытянуты вдоль оси X и имеют размеры $(208\text{нм}, 12\text{нм})$. Из при-

веденных результатов видно, что интенсивность рассеяния растет при увеличении значений показателя преломления материала для прозрачных частиц (PSL и SiN), но падает при появлении поглощения в материале (Ti). Можно также отметить, что форма кривых при изменении материала меняется слабо.

Аналогичные результаты, полученные для вытянутых вдоль оси Y частиц (12нм, 208нм), представлены на рис. 7,8. Видно, что Р-поляризация более чувствительна к материалу частицы, тогда как в случае S-поляризации графики, соответствующие разным материалам, очень близки.

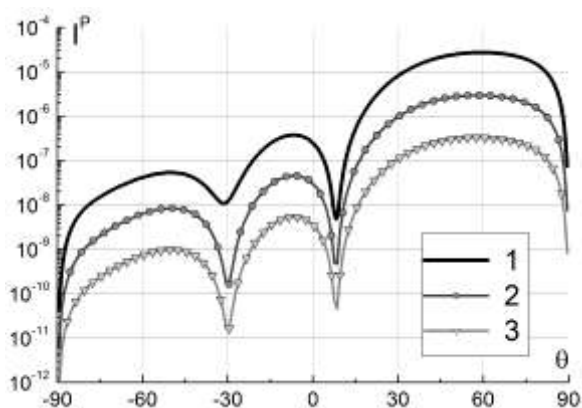


Рис. 9

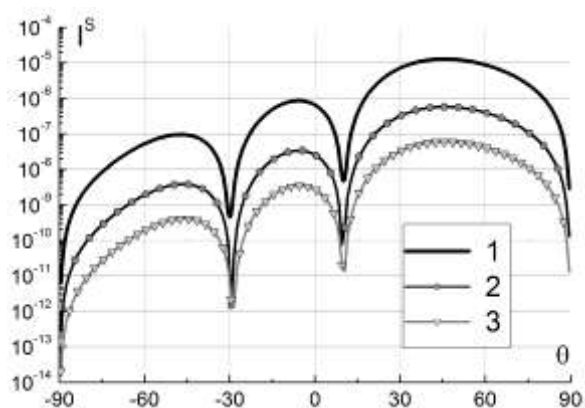


Рис. 10

В заключение рассмотрим влияние параметра z_{\max} , определяющего величину углубления цилиндра в подложку, на картину рассеяния. Заметим, что во всех предыдущих численных экспериментах частица примыкала снизу к краю подложки, т.е. $z_{\max} = 0$. Как и ранее, будем рассматривать кремниевую (Si) подложку, на которую падает плоская волна ($\lambda = 266$ нм) под углом $\theta_0 = 70^\circ$.

На рис. 9,10 приведены кривые рассеяния Р- и S-поляризованных волн воздушной полостью, вытянутой вдоль оси X и имеющей значения полуосей основания (208нм, 12нм). Представлены результаты моделирования для трех значений параметра $z_{\max} = 0, 5, 10$ нм, которым соответствуют кривые 1,2,3. Отметим, что для обеих поляризаций падающей плоской волны картина рассеяния дефектом, примыкающим к поверхности подложки (кривая 1), заметно отличается от случаев, когда объект находится на некотором удалении от поверхности. Иначе говоря, при углублении объекта происходят существенные изменения в интенсивности рассеянного поля. При этом форма кривых интенсивности меняется слабо.

ЗАКЛЮЧЕНИЕ

Разработан и реализован численный метод анализа рассеивающих свойств плоских рассеивателей малой толщины, имеющих форму эллиптических цилиндров и расположенных внутри диэлектрической подложке. Метод апробирован при расчетах характеристик рассеяния ряда дефектов. Результаты численных экспериментов свидетельствуют о высокой эффективности предложенного подхода применительно к тонким подповерхностным рассеивателям.

СПИСОК ЛИТЕРАТУРЫ

1. Еремин Ю.А., Свешников А.Г. Использование фиктивных частиц при анализе рассеивающих свойств малозаметных дефектов подложки //Вестник МГУ, Сер. 3. Физика. Астрономия. 2013, №6, с.8-13.
2. Eremin Yu.A., Lopushenko V.V. Method of integral equations in the spectral domain for the analysis of plane defects of a substrate //Differential Equations. 2014, Vol.50, N9, pp.1173-1181.
3. Lopushenko V.V. Analysis of Plane Cylindrical Wafer Defects by the Spectral-Domain Integral Equation Method //Computational Mathematics and Modeling. 2016, Vol. 27, N1, pp. 44-59.
4. Дмитриев В.И., Захаров Е.В. Метод интегральных уравнений в вычислительной электродинамике. //М.: Макс пресс, 2008.
5. Борн М., Вольф Э. Основы оптики. //М.: Наука, 1970.
6. Фелсен Л., Маркувиц Н. Излучение и рассеяние волн. //М.:Мир, 1978, Т.1.